

# 2012-05-09 長尾健太郎氏の集中講義(2)

黒木玄記

## §2 カスプ付き Riemann 面の Teichmüller 理論

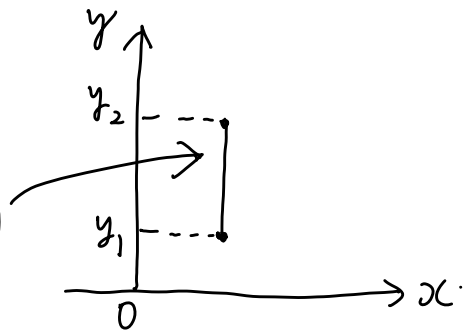
### §2-1 上半平面モデル

$$\mathbb{H}^2 = \{(x, y) \in \mathbb{R}^2 \mid y > 0\} = \{z \in \mathbb{C} \mid \text{Im} z > 0\}$$

$$\mathbb{H}^2 \text{ 上の計量 } ds^2 = \frac{dx^2 + dy^2}{y^2}$$

$(\mathbb{H}^2, ds)$  は上半平面モデルと呼ばれる

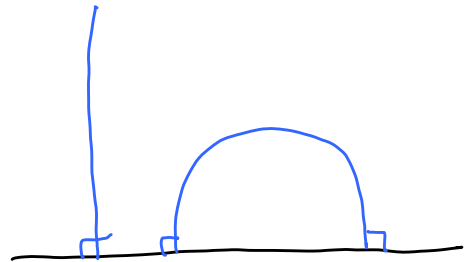
注 ①  $\int_{y_1}^{y_2} \frac{dy}{y} = \log \frac{y_2}{y_1}$  (右の線分の長さ)



② 測地線は

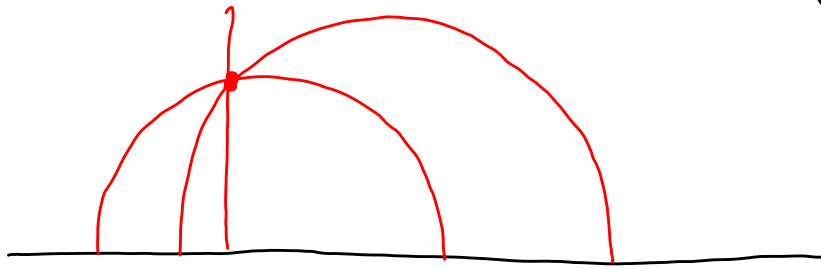
$\partial\mathbb{H}^2 = (\text{実軸})$  に直交する半円と

$\partial\mathbb{H}^2 = (\text{実軸})$  に直交する直線



③ 測地線を「直線」と定義することで  
非ユークリッド幾何の例となっている

第5公理が成立しない  
(1~4は成立する)



$$ds^2 = \frac{dx^2 + dy^2}{y^2}$$

$$\begin{cases} z = x + iy \\ x \in \mathbb{R}, y \in \mathbb{R}_{>0} \end{cases}$$

§2-2. 等長変換

$SL(2, \mathbb{R})$

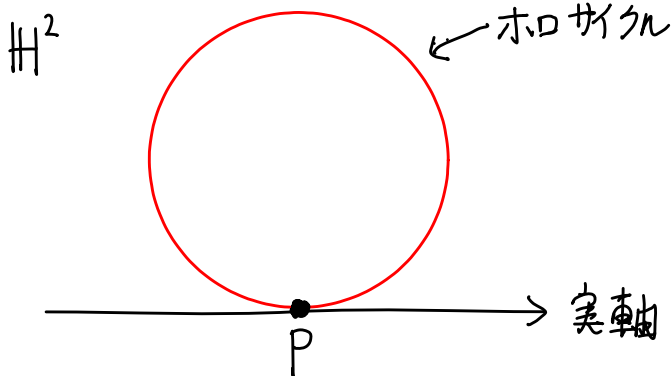
$$PSL(2, \mathbb{R}) := \left\{ \begin{bmatrix} a & b \\ c & d \end{bmatrix} \in M_2(\mathbb{R}) \mid ad - bc = 1 \right\} / \{ \pm E \}$$

$z \mapsto \frac{az+b}{cz+d}$  は  $\mathbb{H}^2$  の計量  $ds^2$  を保つ。

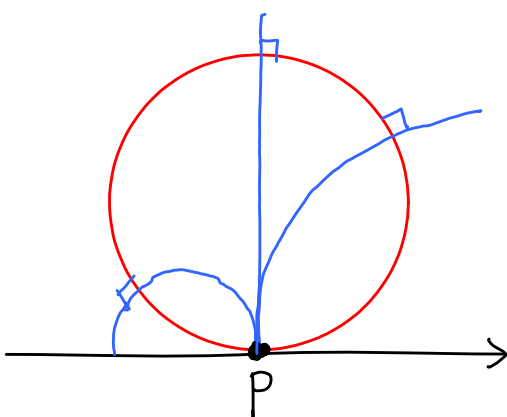
$PSL(2, \mathbb{R})$  は  $\mathbb{H}^2$  に等長変換として作用する。

双曲幾何では  $\mathbb{H}^2$  の開集合を等長変換ではりあわせる  
Riemann 多様体に関する幾何のことである

§2-3 ホロサイクル



$\mathbb{H}^2$  の境界に接する  
(ユークリッド幾何の意味での)  
円周のことを  
ホロサイクルと呼ぶ。  
(P を中心とするホロサイクルと呼ぶ)



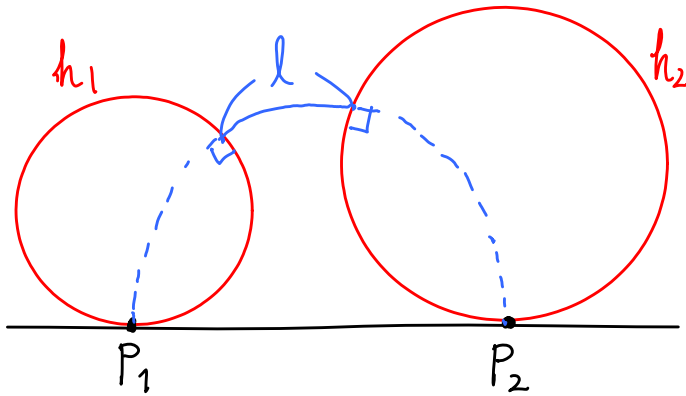
P に収束する測地線は  
P を中心とするホロサイクルと  
直交する

**レポート**  $c \in \mathbb{R}$  に対し  $\left[ \begin{pmatrix} 1 & 0 \\ c & 1 \end{pmatrix} \right] \in \text{PSL}(2, \mathbb{R})$  の作用は

$0 \in \mathbb{R} = \partial \mathbb{H}^2$  を保つ, これは  $0$  を中心とするホロサイクルを保つ,  
(まわす)

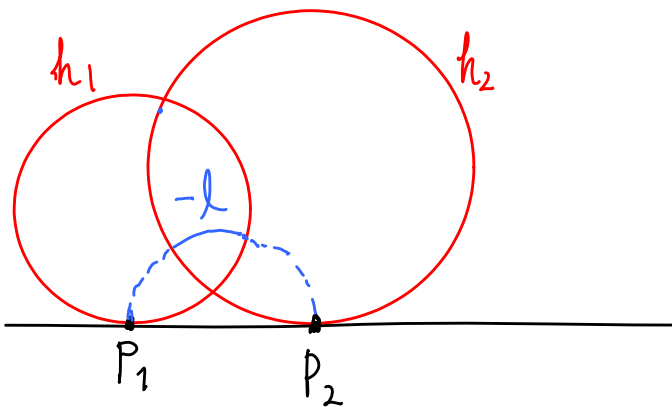
**§2-4  $\lambda$  距離**

$h_1, h_2$  はそれぞれ  $P_1, P_2$  を中心とするホロサイクルであるとする



$P_1$  と  $P_2$  をむすぶ測地線の  $h_1$  と  $h_2$  にはさまれた部分の (符号付き) 長さを  $l(h_1, h_2)$  と書き

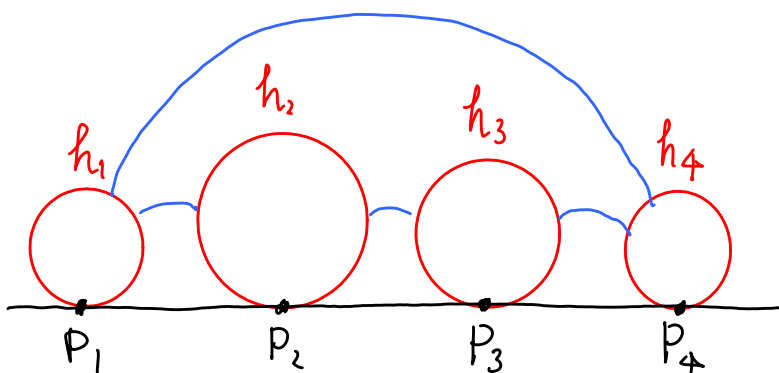
$$\lambda(h_1, h_2) := \sqrt{\exp(l(h_1, h_2))}$$



左の図の場合には  $-l$  になる

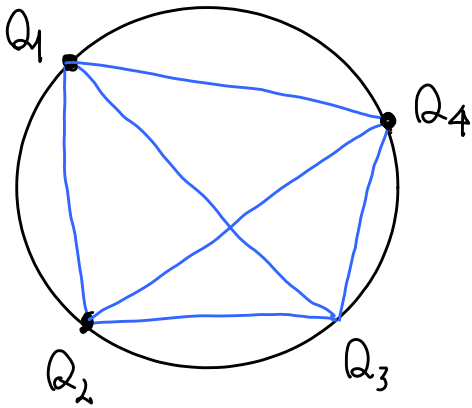
**レポート**  $h_i$  を中心  $\alpha_i$  としユークリッド半径  $r_i$  ( $i=1, 2$ ) のホロサイクルとする,  $l(h_1, h_2)$  を求めよ

**$\lambda$  距離に関する Ptolemy の定理**



$$\begin{aligned} & \lambda(h_1, h_3) \lambda(h_2, h_4) \\ &= \lambda(h_1, h_2) \lambda(h_3, h_4) \\ &+ \lambda(h_1, h_4) \lambda(h_2, h_3) \end{aligned}$$

④ 次の Ptolemy の定理の類似:



$$\begin{aligned}
 & |Q_1 Q_3| \cdot |Q_2 Q_4| \\
 &= |Q_1 Q_2| \cdot |Q_3 Q_4| \\
 &+ |Q_1 Q_4| \cdot |Q_2 Q_3|
 \end{aligned}$$

レポート 入距離に関する Ptolemy の定理を証明せよ

[Penner, Commun. Math. Phys. 113, 299-339 (1987)]

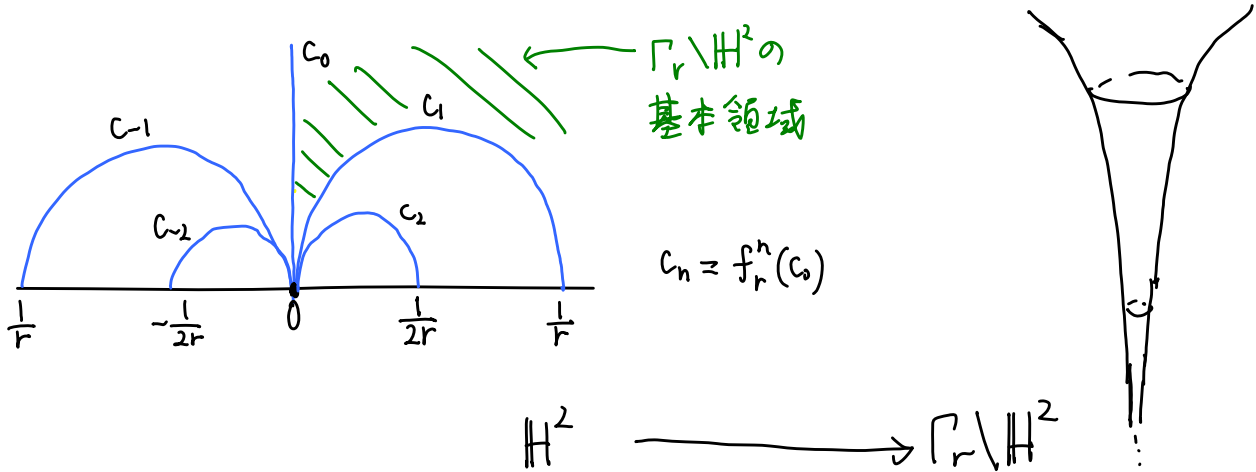
④ 最終的に円周 4 点上の話に帰着される

§2-5 カスプ°

$$\begin{array}{ccc}
 r \in \mathbb{R} \neq 0, & \Gamma_r := r\mathbb{Z} \subset \mathbb{R} \hookrightarrow \text{PSL}(2, \mathbb{R}) \simeq \mathbb{H}^2 \\
 \text{SII} & & c \mapsto \begin{bmatrix} 1 & 0 \\ c & 1 \end{bmatrix} \\
 \mathbb{Z} & & 
 \end{array}$$

$$v \in \Gamma_r \simeq \mathbb{H}^2, \quad f_r(z) := \frac{z}{rz+1} \quad \text{と定める}$$

$f_r$  の作用は原点と原点を中心とするホロサイクルを保つ。 まわす



これの 0 の近傍を カスプ° と呼ぶ

$\begin{bmatrix} 1 & 0 \\ c & 1 \end{bmatrix}$  は  $0$  中心のホロサイクルを保つので、

$\mathbb{H}^2$  上の  $0$  中心のホロサイクルは  $\Gamma \backslash \mathbb{H}^2$  上の閉曲線を与える

まわす

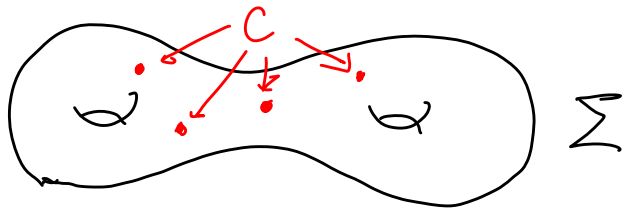
((ここで休みをとる 16:13 ~ 16:28 < 5 min))

§2-6 Teichmüller 空間

$\Sigma$  : 向き付きで境界のないコンパクト 2次元多様体

$U$

$C$  : 有限集合.



$$\left\{ \begin{array}{l} \Sigma \setminus C \text{ 上の双曲構造} \\ C \text{ にカスプを持つもの全体} \end{array} \right\} / \text{Aut}^0(\Sigma, C) =: T(\Sigma, C)$$

ここで  $\text{Aut}^+(\Sigma, C) := \{ \varphi : \Sigma \xrightarrow{\sim} \Sigma, \text{向きを保つ}, \varphi(C) = C \}$

$\text{Aut}^0(\Sigma, C) := (\text{Aut}^+(\Sigma, C) \text{ の } \text{id}_\Sigma \text{ を含む連結成分})$

$\text{MCG}(\Sigma, C) := \pi_0(\text{Aut}^+(\Sigma, C)) = \text{Aut}^+(\Sigma, C) / \text{Aut}^0(\Sigma, C).$

構成について ( $T(\Sigma, C)$  の) (おまけ)

$$\text{Hom}'(\pi_1(\Sigma \setminus C), \text{PSL}(2, \mathbb{R})) = \left\{ \begin{array}{l} \rho : \pi_1(\Sigma \setminus C) \rightarrow \text{PSL}(2, \mathbb{R}), \\ \text{— 単射群準同型} \\ \text{— 像が離散的} \\ \text{— } \forall c \in C \text{ に対して } c \text{ の周りを 1 周する} \\ \text{ } \pi_1(\Sigma \setminus C) \text{ の元を放物的な元にする.} \end{array} \right\}$$

$\uparrow \text{tr} = 2$

$$H(\pi_1(\Sigma, C), \text{PSL}(2, \mathbb{R})) / \text{PSL}(2, \mathbb{R}) \cong T(\Sigma, C).$$

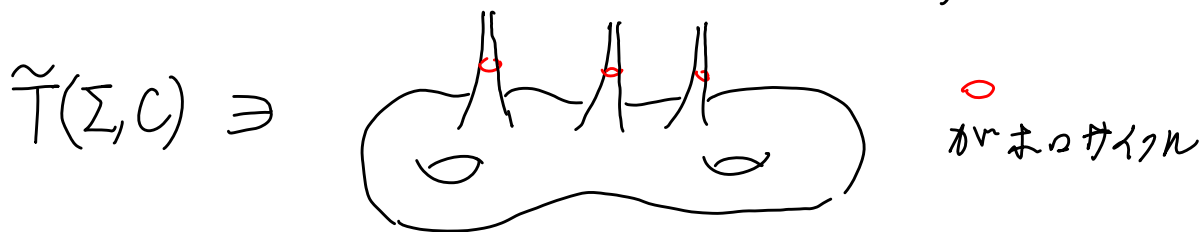
$$[\rho: \Gamma = \pi_1(\Sigma, C) \rightarrow \text{PSL}(2, \mathbb{R})] \mapsto \rho(\Gamma) \backslash \mathbb{H}^2$$

decorated Teichmüller 空間

$$\tilde{T}(\Sigma, C) = \{(\rho, (h_c)_{c \in C}) \mid \rho \in T(\Sigma, C), h_c: c \text{ 中心のホロサイクル}\}$$

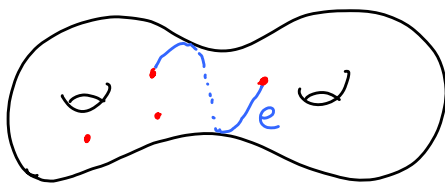
$$T(\Sigma, C) \cong \{ \rho \}$$

これらの fiber は  $(\mathbb{R}_{>0})^{|C|} = \{(h_c \text{ の半径})_{c \in C}\} \cong \{(h_c)_{c \in C}\}$



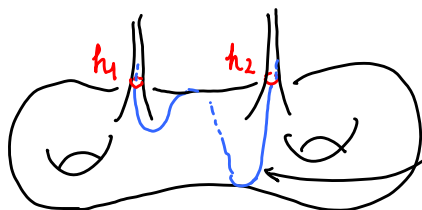
Penner 座標

$e$  は  $C$  の点を経る曲線



( $e$  は up to homotopy まで考え)

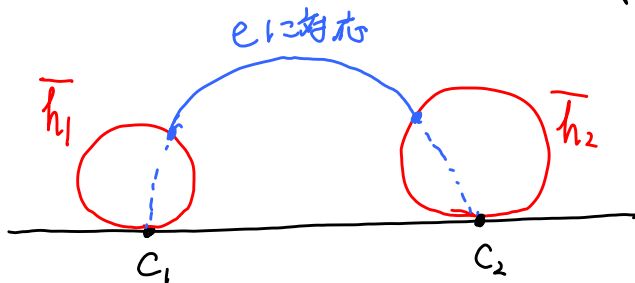
$$(\rho, (h_c)_{c \in C}) \in \tilde{T}(\Sigma, C)$$



$e$  を実現する測地線  
2つのホロサイクルの間の距離を  
 $l_e(\rho, (h_c)_{c \in C})$  とおく

$$\cong l(\bar{h}_1, \bar{h}_2)$$

これを  $\mathbb{H}^2$  上で図示すると



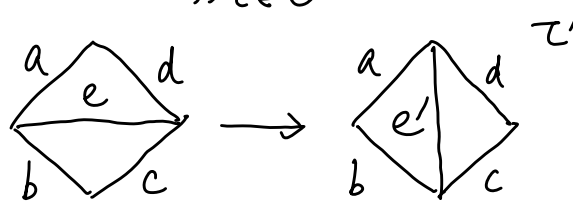
$$\lambda_e(\rho, (h_c)_{c \in C}) := \sqrt{\exp \ell_e(\rho, (h_c)_{c \in C})} = \lambda(\bar{h}_1, \bar{h}_2).$$

### Theorem [Penner]

$\tau$  は  $(\Sigma, C)$  の三角形分割  $\tau$  があると  $E := E_\tau = (\text{辺の集合})$  とする.

$$(1) \tilde{T}(\Sigma, C) \xrightarrow{\sim} (\mathbb{R}_{>0})^E$$

$$\begin{matrix} \psi \\ \downarrow \\ (\rho, (h_c)_{c \in C}) \end{matrix} \mapsto \begin{matrix} \psi \\ \downarrow \\ (\lambda_e)_{e \in E} = (\lambda_e(\rho, (h_c)_{c \in C}))_{c \in C} \end{matrix}$$

(2)  $e \in E$  による flip を考える:   $\tau$   $\rightarrow$   $\tau'$

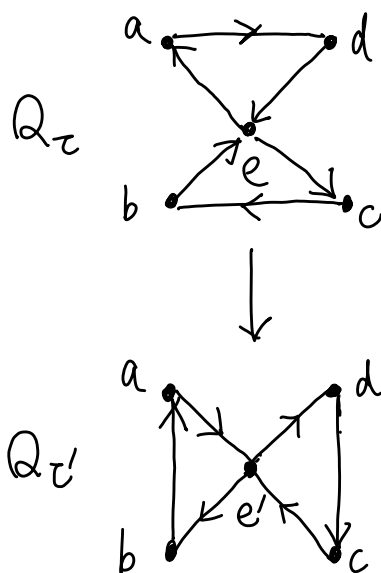
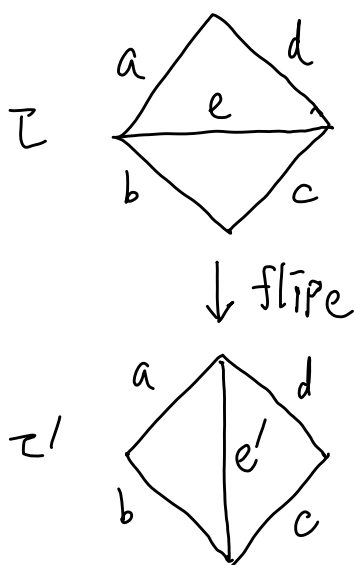
$\tau'$  に対する  $\lambda_{\bar{a}}$  と  $\lambda'_{\bar{a}}$  と書く

$\lambda'_{\bar{a}} = \lambda_{\bar{a}}$  if  $\bar{a} \neq e$  (自明). したがって Ptolemy の定理より,

$$\lambda'_{e'} = \frac{\lambda_a \lambda_c + \lambda_b \lambda_d}{\lambda_e}.$$

□

(注) これは  $\tau$  に対応する quiver  $Q_\tau$  に対する クラスター変換に 他ならない



$$\begin{matrix} \lambda_e \\ \downarrow \\ \lambda'_{e'} = \frac{\lambda_a \lambda_c + \lambda_b \lambda_d}{\lambda_e} \end{matrix}$$

# 写像群の作用

$[\varphi] \in \text{MCG}(\Sigma, C) = \pi_0(\text{Aut}^+(\Sigma, C))$  の  $\check{T}(\Sigma, C)$  への作用.

$\varphi: \tau \mapsto \varphi(\tau)$  (新しい三角形分割) [Fomin-Schapiro-Thurston]

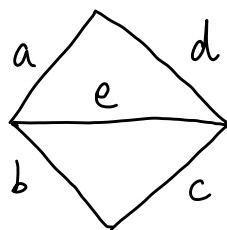
flipの列  $\tau \rightarrow \tau' \rightarrow \dots \rightarrow \varphi(\tau)$  が存在して,

対応する cluster 変換の合成により  $[\varphi]$  の作用を記述できる

$\tau$  と  $\varphi(\tau)$  による別の座標の入れ方を cluster 変換で比較できる

## Fock 座標

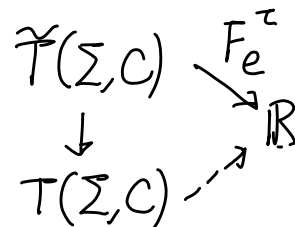
•  $\tau$ : 三角形分割,  $e$ :  $\tau$  の辺,



という状況に対して

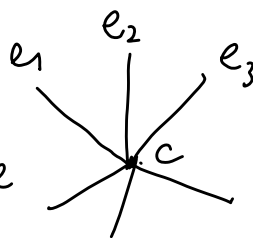
$F_e^\tau := l_a - l_b + l_c - l_d$  とおく. ( $l_i$  は  $\check{T}(\Sigma, C)$  上の函数)

この  $F_e^\tau$  は  $T(\Sigma, C)$  の上の函数におさる



•  $c \in C$  に対して

$F_c^\tau := \sum_j F_{e_j}^\tau$  where



このとき  $F_c^\tau = 0$ . (cのまわりをぐるぐるまわると戻ると  $l_i$  がたまたまキャンセルされる)

## Theorem [Fock]

$$T(\Sigma, C) \cong \left\{ (F_e)_{e \in E} \in \mathbb{R}^E \mid F_c = 0 \ (\forall c \in C) \right\} \cong \mathbb{R}^{|E| - |C|}. \quad \square$$

⑧  $\check{T}(\Sigma, C) \leftrightarrow x$ -variables,  $T(\Sigma, C) \leftrightarrow y$ -variables



⑨ 明日使うのは今日の話の「複素化」版.

すなわち代表的に書けているのが「複素化」である

$$T(\Sigma, \mathbb{C})_{\mathbb{C}} = \mathbb{C}^{|\Sigma| - 1} \hookrightarrow MCG$$

これは、 $\text{Hom}'(\pi_1(\Sigma \setminus C), \text{PSL}(2, \mathbb{R}))$  の  $\mathbb{R}$  を  $\mathbb{C}$  に変えたもの  
に対応するはずだが、 $\text{Hom}'$  の “'” の条件については  
まだおぼろげに考えてないのでおぼろげに

3次元の双曲幾何とも関係して事ここを明日説明する